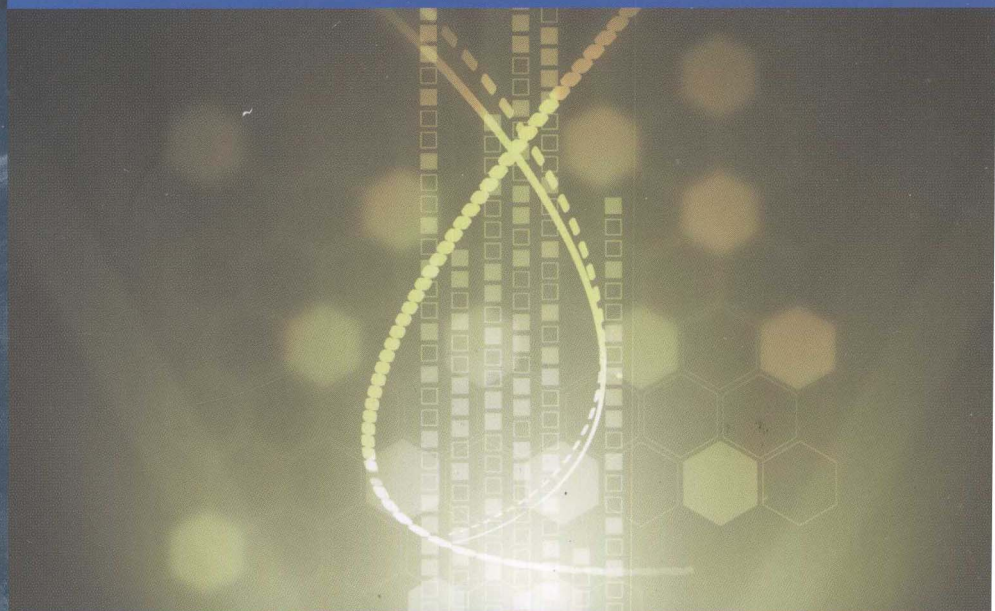




“十二五”普通高等教育本科国家级规划教材配套参考书

光学教程 学习指导书

宣桂鑫 编著



高等教育出版社



“十二五”普通高等教育本科国家级规划教材配套参考书

光学教程 学习指导书

GuangxueJiaocheng XuexiZhidaoshu

宣桂鑫 编著

高等教育出版社·北京

内容提要

本书是《光学教程(第五版)》(姚启钩原著)的配套学习指导书。全书共9章,前8章分别对应主教材中各章,包括“框架建构”、“课程标准”、“内容分析”、“例题示范”、“内容提要”和“文献阅读”等6大模块,旨在为学生提供自主学习的平台,帮助学生明确学习目标,了解各章需要掌握的基本概念和基本理论。书中深入剖析和讨论主教材中的重点和难点,选择典型例题分析示范,并结合教学内容介绍一些光学研究的前沿动态,以开阔学生的视野。第九章为教学评估,建构全书的框架、双向细目表、标准化考试样卷和模拟试卷与解答,便于学生自评学习成果。

本书适合高等师范院校物理专业学生作为学习辅导书,也可供教师参考。

图书在版编目(CIP)数据

光学教程(第五版)学习指导书 / 宣桂鑫编著. --

北京:高等教育出版社,2014.9

ISBN 978-7-04-040648-1

I. ①光… II. ①宣… III. ①光学-高等师范院校-
教学参考资料 IV. ①O43

中国版本图书馆 CIP 数据核字(2014)第 160066 号

策划编辑 王硕

插图绘制 尹文军

责任编辑 高聚平

责任校对 杨凤玲

封面设计 赵阳

责任印制 赵义民

版式设计 余杨

出版发行 高等教育出版社
社 址 北京市西城区德外大街 4 号
邮 政 编 码 100120
印 刷 大厂益利印刷有限公司
开 本 787mm×960mm 1/16
印 张 19
字 数 340 千字
购书热线 010-58581118

咨询电话 400-810-0598
网 址 <http://www.hep.edu.cn>
<http://www.hep.com.cn>
网上订购 <http://www.landraco.com>
<http://www.landraco.com.cn>
版 次 2014 年 9 月第 1 版
印 次 2014 年 9 月第 1 次印刷
定 价 31.70 元

本书如有缺页、倒页、脱页等质量问题,请到所购图书销售部门联系调换

版 权 所 有 侵 权 必 究

物 料 号 40648-00

前　　言

高等教育出版社出版的《光学教程》(姚启钧原著,华东师大光学教材编写组改编),自1981年6月出版以来,深受好评,被很多院校选用,2003年入选“高等教育百门精品课程项目”,2013年被教育部遴选为首批“十二五”普通高等教育本科国家级规划教材。为满足读者的需要,为学生提供自主学习的平台,建设立体化精品教材,作者编撰了本书。

各章的内容分成“框架建构”、“课程标准”、“内容分析”、“例题示范”、“内容提要”和“文献阅读”等6大模块,首先阐述各章的知识框架建构和课程标准;随后对教学中的重点和难点作剖析和讨论,以利读者切实掌握光学的基本概念和基本理论;接着枚举出139道例题,所选例题具有典型性、普适性、前沿性和规范性,且具有一定的难度,对读者独立解答完成《光学教程》的习题具有启发诱导作用;并对每一章内容作提纲挈领的总结,着重指出各基本概念的相关性;最后在每章末附有文献阅读材料,是编者从历年来教学研究方面公开发表的论文中筛选出来的,供读者参考。

为便于读者自我检测学习成果,提供教学评估的透明度,根据课程标准编制了教学评估一章。编者确信这是一种有益的尝试。提供五套试卷,共74道试题,所选题目力求新颖全面,难度适中,具有较佳的区分度和效度,并给出参考解答,这样与例题相得益彰,也起到示范作用。其中“模拟卷与解(三)”、“模拟卷与解(四)”以电子文档形式发布在“中国高校物理课程网”(<http://phy.cncourse.com>)的“教材中心”频道下宣桂鑫编著的《光学教程(第五版)学习指导书》的免费资源中,欢迎前往下载。

参加本书编写工作的还有吕晴、黄旭东、王静英、宣佳慰、吕中千和房士新等。

宣桂鑫

2014年8月

目 录

第一章 光的干涉	1
一、框架建构	1
二、课程标准	2
三、内容分析	2
四、例题示范	7
五、内容提要	27
六、文献阅读	29
第二章 光的衍射	37
一、框架建构	37
二、课程标准	38
三、内容分析	38
四、例题示范	43
五、内容提要	59
六、文献阅读	61
第三章 几何光学的基本原理	85
一、框架建构	85
二、课程标准	85
三、内容分析	86
四、例题示范	95
五、内容提要	113
六、文献阅读	115
第四章 光学仪器的基本原理	128
一、框架建构	128
二、课程标准	129
三、内容分析	129
四、例题示范	138

五、内容提要	153
六、文献阅读	156
第五章 光的偏振 158	
一、框架建构	158
二、课程标准	159
三、内容分析	159
四、例题示范	165
五、内容提要	180
六、文献阅读	182
第六章 光的吸收、散射和色散 194	
一、框架建构	194
二、课程标准	194
三、内容分析	194
四、例题示范	197
五、内容提要	200
六、文献阅读	201
第七章 光的量子性 203	
一、框架建构	203
二、课程标准	204
三、内容分析	204
四、例题示范	209
五、内容提要	218
六、文献阅读	221
第八章 现代光学基础 224	
一、框架建构	224
二、课程标准	224
三、内容分析	225
四、例题示范	232
五、内容提要	239
六、文献阅读	240

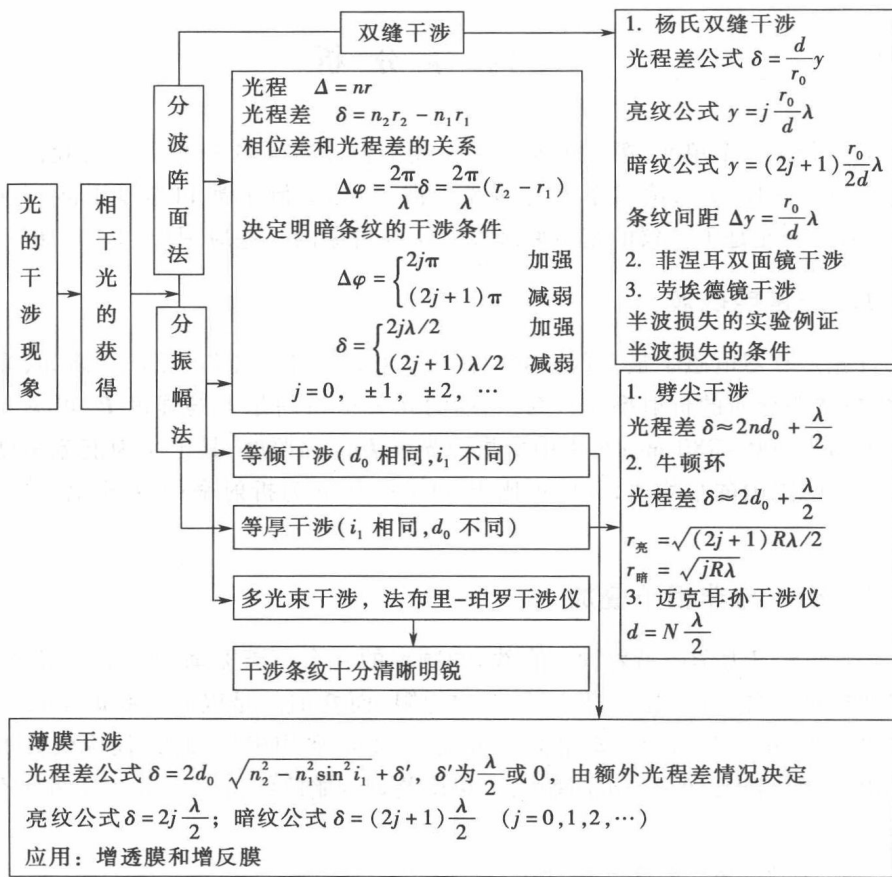
第九章 光学教学评估	264
一、标准化考试	264
二、双向细目表	267
三、全书的框架	268
四、标准卷与解	269
五、模拟卷与解	279
六、课标的动词	292
参考文献	293

第一章

光的干涉

光的干涉现象及其实验事实揭示了光的波动性。光波不是机械波而是电磁波，其中引起光效应的主要原因是电场强度而不是磁感应强度。本章着重讨论光的干涉定义、相干条件以及分波面和分振幅干涉装置的干涉光强分布规律，最后讨论迈克耳孙干涉仪和法布里-珀罗干涉仪的基本原理和应用。

一、框架建构



二、课程标准

1. 理解相干叠加和不相干叠加的区别和联系.
2. 理解光的相干条件和光的干涉的定义.
3. 了解干涉条纹的可见度以及空间相干性和时间相干性对干涉可见度的影响.
4. 掌握相位差和光程差之间的关系.
5. 掌握分波面干涉装置的干涉光强分布的基本规律, 即干涉条纹的间距和条纹的形状等.
6. 掌握分振幅等倾干涉的条纹特征和光强分布及其应用.
7. 掌握分振幅等厚干涉的条纹特征和光强分布及其应用.
8. 掌握迈克耳孙干涉仪和法布里-珀罗干涉仪的基本原理及其应用.

三、内容分析

本章分为三个单元. 第一单元是关于光的波动本质的一些重要实验证据及其解释(1.1—1.5)*; 第二单元是薄膜干涉, 包括等倾干涉和等厚干涉(1.6—1.7); 第三单元是干涉仪的基本原理以及干涉现象的一些应用(1.8—1.10).

1. 光是电磁波

首先是复习电磁学最后部分的电磁波. 这里只需了解若干结论: 诸如, 光是电磁波; 透明介质的折射率 $n = c/v$; 光场的光矢量指的是电场强度 E ; 可见光的波长范围为 $400 \sim 780 \text{ nm}$; 实用中所指的光强 I , 即辐照度, 其定义为能流密度在测量时间间隔内的平均值, 其值正比于 nA^2 (其中, n 为折射率; A 为振幅, 单位是 W/m^2).

2. 相干与非相干叠加

1.1 是复习力学中沿着同一直线、同频率的两个简谐振动的叠加. 要注意这是以两振动在各自独立的条件下的叠加为限, 而叠加总是以同一瞬时的两个振动矢量相加. 由于只讨论振动沿同一直线, 故不需要用矢量加法, 仅用代数加法就可以了. 值得指出的是, 由两振动的相位差是否始终维持不变来区分两种不同

* 本书提到的章、节号, 均指《光学教程》(第五版)的章、节号.

的情况：第一，两振动的相位差维持不变的，合振动强度可能不等于分强度之和，这是相干叠加；第二，相位差时刻变化的，合振动等于分振动之和，这是非相干叠加。严格地讲，应由干涉项 $2A_1A_2\langle \cos \Delta\varphi \rangle$ ，是否为零来区分非相干叠加和相干叠加。 $\langle \cos \Delta\varphi \rangle$ ，表示 $\cos \Delta\varphi$ 在测量时间间隔 τ 内的平均值。

在力学现象中，振动通常持续相当长的时间，所以在观察时间内，叠加一般是相干的。但是在光学现象中，光源所发出的光，情况要复杂得多，所以应特别注意相干问题。由于每次发光时间特别短暂，而通常的光接收器的响应时间相比之下又特别长，这就决定了一般观察的光学现象都是时间的平均效应。因此两束光的相干条件中最关键的一条就是在光的叠加区域内，各点具有各自的、不跟随时问而变的相位差。这就决定了通常的相干光源必须采用各种各样的分光装置来获得，即把一准单色光源发出的一束光，通过某一措施人工地分成两束，随后使这两束光经不同的光程后交叠而实现。这一措施通常分成分波面、分振幅和分振动面三种形式，其中偏振光的干涉就是分振动面的实例。

3. 相位差与光程差的关系

符合相干条件的两束光波在相遇区域叠加，是相长还是相消，取决于相位差，而两振动的相位差是由如下两个因素所决定的：

第一，是相干光源本身所带来的初相位差 $\varphi_{02} - \varphi_{01}$ 。

实际的光源中含有无数的发光原子，即使可以使它们发出同一频率的单色光，我们也无法控制它们所发光波的初相位值。故 $\langle \cos \Delta\varphi \rangle = 0$ ，即干涉项为零。因此，实际的点光源中不同原子所发的光波，因它们之间无固定的初相位差 $\varphi_{02} - \varphi_{01}$ ，从统计观点看，是不相干的。

在多数情况下，相干光源本身的相位可以认为是相同的，所以在计算时，该因素可不必考虑，只要确知它们之间的相位差始终维持不变就可以了。

第二，是从两相干光源到同一观察点的光程差。

由于相干光源本身的相位可认为是相同的，故计算两波同时到达观察点时的相位差，主要从光程差着手。光程差和相位差的关系为

$$\Delta\varphi = \frac{2\pi}{\lambda}\delta = k\delta$$

该式表明光程每差一个波长 λ ，相位就差 2π 。任意光程差 δ 与 λ 之比，应该等于相应的相位差 $\Delta\varphi$ 与 2π 之比。

综上所述，干涉强度分布决定于相位差，相位差决定于光程差，所以光程差公式是讨论干涉的出发点。它是波动光学的主题歌。因此，这个关系式应熟记。

值得指出的是，相消干涉不是能量的消灭，因为与此同时必伴随着相长干

涉,不过出现在不同的地方. 干涉现象仅是波所到达空间各点能量的重新分布.

4. 分波面双光束干涉

1.2 中应注意分波面双光束干涉的三个具有重要意义的实验:

(1) 杨氏实验是个典型的例子,它的规律具有普遍意义.

(2) 劳埃德镜实验表明:光从光密介质表面反射,入射角近于 $\pi/2$ 时发生半波损失.

(3) 维纳驻波实验表明:入射角为 0° 时也发生半波损失,而在介质表面形成驻波的波节,这相当于电场强度矢量,而不是磁感应强度,进一步证明光矢量是电场强度矢量,从而认识光的电磁本性.

5. 干涉条纹的可见度以及空间相干性和时间相干性

干涉条纹的可见度是描述干涉场中干涉现象显著程度的物理量. 干涉条纹的可见度的大小与两相干光波的强度、光源的大小和光源的单色性有关.

空间相干性指的是光场中同一时刻两个不同位置光振动的关联程度,即横向相干性;时间相干性指的是光场中同一位置不同时刻光振动的关联程度,即纵向相干性. 其实,空间相干性和时间相干性的问题是不能截然分开的,我们之所以区分它们,只是为了说明问题的方便.

6. 菲涅耳公式

四个菲涅耳公式是从电磁波边界条件推导出来的. 用菲涅耳公式不但可以计算反射光和透射光的振幅 A_1 和 A_2 ,而且还可以从振幅反射比和振幅透射比的正负确定反射光和透射光的电矢量在某一时刻的振动指向.

对菲涅耳公式不必去细究如何推导,这里主要应用菲涅耳公式解释半波损失,从理论上阐述光的电磁本性.

7. 分振幅薄膜干涉

由斯托克斯定理对反射和透射比的讨论可知薄膜反射多光束干涉可以等效为最先两束反射光的干涉.

1.6 和 1.7 所涉及的薄膜干涉中,最重要的是公式(1-35)*,在所讨论的条件下,对等倾干涉和等厚干涉都是成立的. 应该弄清的是式中 n_1 、 n_2 、 d_0 、 i_1 和 i_2 的含义,特别是 i_2 不是由已知条件给出的,还要经折射定律换算.

* 本书提到的公式号,均指《光学教程》(第五版)的公式号.

关于等倾干涉和等厚干涉这两个物理术语,容易因望文生义而混淆. 等厚干涉条纹,决不要认为薄膜是等厚的. 等厚干涉条纹指的是相同的倾角,薄膜上厚度相同的各点对应着同样的光程差,在同一级条纹上. 所以,只有厚度不同的薄膜才有可能形成一组等厚条纹,条纹的形状正反映等厚点的轨迹. 而等倾干涉指的是厚度相等的薄膜,由入射光的倾角改变而形成的一组干涉条纹. 同一级条纹,对应着同一倾角;不同级条纹,对应着不同的倾角. 由公式(1-35)可知,当 n_1 和 n_2 给定以后, d_0 一定, 光程差随 i_1 变化, 即得等倾条纹; 由公式(1-37)可知, 当 i_1 一定, 光程差随 d_0 变化, 即等厚条纹. 这就是为什么要把完全一样的公式(1-35)和(1-37)写成不同形式的缘由.

在讨论薄膜干涉问题时,关键的内容是正确计算两振动的相位差,实际上就是计算两振动叠加时的方向关系. 首先应明确是哪两个光振动参与叠加. 在薄膜干涉现象中,入射光根本没有介入叠加,它的振动不必考虑,所以不涉及半波损失,因为它是反射光与入射光之间的振动方向关系. 其次,应明确单独考虑振动的一个分量方向相反与否,还不能完全解决问题,必须同时考虑两分量的合矢量的方向关系. 关于一分量方向的正负,仅指的是该方向与规定正方向是相同还是相反. 因此,必须区分下列三种不同意义,即各分量方向的正负,入射光与反射光之间的半波损失,在不同条件下反射的两束光之间的额外光程差.

综上所述,薄膜干涉中,薄膜上下表面反射的两束平行光的光程差为

$$\delta = 2d_0 n_2 \cos i_2$$

这是公式(1-35)和(1-37)的出发点. 随后考察上下表面反射过程中是否有额外光程差,进一步修正. 当 $n_1 < n_2, n_2 > n_3$ 或 $n_1 > n_2, n_2 < n_3$ 时有额外光程差 $\lambda/2$; 当 $n_1 > n_2 > n_3$ 或 $n_1 < n_2 < n_3$ 时,无额外光程差. 最后由光程差和相位差之间的关系,进一步确定相长或相消干涉的条件.

值得指出的是,有无额外光程差的差别仅仅在于干涉条纹的级数差半级,即暗亮条纹互换,这是十分重要的现象,但是并不影响诸如条纹的形状、间隔和对比度等特征.

8. 迈克耳孙干涉仪的基本原理及应用

迈克耳孙干涉仪的原理是以薄膜干涉现象为基础的. 除了弄清每一元件的功能外,就是分析由 M_1 和 M_2 所构成的特殊薄膜的干涉问题,公式(1-35)仍旧适用. 但是这种薄膜具有以下特点:首先,它是空气膜,所以 $n_1 = n_2 = 1, i_1 = i_2$;其次,通过改变 M_1 和 M_2 的方位,实现等厚薄膜或尖劈薄膜;再次,它是分振幅双光束干涉装置,两束相干光是在两个互相垂直的方向传播. 由于两光路分得很

开,所以可以根据需要改变其中一条光路,便于我们在测量时放置各种待测部件.因此,迈克耳孙干涉仪在光学测量中得到了广泛的应用.其中常用到下述原理:干涉仪中的动镜每移动 $\lambda/2$ 的距离,从视场中冒出或缩进一个条纹,这就和精密测量紧密联系起来.借助于计算机,可使判读与测量精度大大提高.

9. 法布里-珀罗干涉仪的原理

多光束干涉形成的条纹比两光束干涉所形成的条纹锐度高,故利用多光束干涉的干涉仪具有很高的分辨本领.因此,这种干涉仪常用于高分辨光谱学中.

利用多光束干涉的原理的最重要的干涉仪是法布里-珀罗干涉仪.重要的是它的强度分布,关于这一点,除了第二章分析光栅时要用到其性质外,在分析激光谐振腔的原理时也要涉及它.

10. 牛顿环

牛顿环是不同厚度的等厚点轨迹,是以接触点为圆心的一簇同心圆.由于额外光程差,中心点为暗的,其 j 级条纹的半径为

$$r_j = \sqrt{j\lambda/n} \propto \sqrt{j}$$

式中, $n=1$,故牛顿环等厚圆条纹和厚度相等的薄膜的等倾圆条纹在光强分布和 r_j 上有相同的分布规律.

11. 发光二极管(LED)作干涉实验的光源

由于高亮度的发光二极管功率约为 100 mW,管内设置有抛物面反射镜,故准直性好,工作电压为 3 V,工作电流约 20 mA,功耗小,且抗冲击能力强,可靠性好,寿命长,价格低廉,单色允许误差 5 nm.市售的发光二极管的红、黄、绿和蓝色峰值波长分别为 625 nm、592 nm、520 nm 和 471 nm,可用于杨氏干涉实验的光源及相关演示实验中.

12. 全光纤激光迈克耳孙干涉仪

光学干涉测量,如用钠光测量凸透镜曲率半径,用迈克耳孙干涉仪测量位移等,很久以来都是物理实验的重要内容.然而,那些把空气作为介质的激光干涉装置,存在着致命的缺陷,那就是温度的不均匀、振动、空气中的水分等使这些激光干涉装置在工程应用中受到限制.而光纤干涉测量装置则耐振动、不怕电磁干扰、可在较高温度环境下工作.

同频率、同相位、同偏振方向两束光相遇的空间光强会产生有规律的叠加或相互抵消,本来是光强均匀分布的光场,由于相互干涉,变得不均匀了,产生了

“干涉条纹”. 利用这种原理将激光耦合在直径 $4 \mu\text{m}$ 的单模光纤中制作成全光纤激光迈克耳孙干涉仪.

四、例题示范

1. 分波面干涉

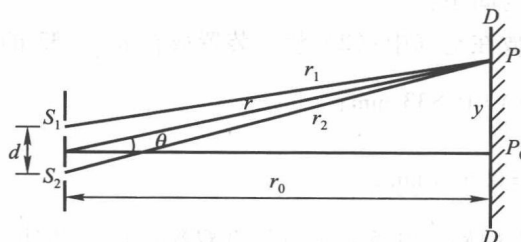
1-1-1 (1) 杨氏装置中, 若已知波长为 589 nm 的光在远处的光屏上将形成角宽度为 0.02° 的暗纹, 试求双缝的间距.

(2) 若将整个装置浸入折射率为 1.33 的液体中, 试求条纹的角宽度.

解:(1) 由相长干涉条件可知, 干涉级为 $j, j+1$ 级的暗条纹的位置分别为

$$y = \frac{r_0}{d} (2j+1) \frac{\lambda}{2} \quad (1)$$

$$y' = \frac{r_0}{d} [2(j+1)+1] \frac{\lambda}{2} \quad (2)$$



题 1-1-1 图

由题 1-1-1 图中的几何关系, 得

$$\tan \theta = \frac{y}{r_0}$$

故

$$\tan \theta = \frac{y}{r_0} = \frac{1}{d} (2j+1) \frac{\lambda}{2} \quad (3)$$

$$\tan \theta' = \frac{y'}{r_0} = \frac{1}{d} (2j+3) \frac{\lambda}{2} \quad (4)$$

式(4)-式(3), 考虑到傍轴条件得

$$\tan \theta' - \tan \theta \approx \theta' - \theta = \Delta \theta = \frac{\lambda}{d}$$

故

$$d = \frac{\lambda}{\Delta \theta} = \frac{589 \times 10^{-6}}{0.02^\circ \times (\pi / 180^\circ)} \text{ mm} = 1.687 \text{ mm}$$

(2) 若将该装置浸入折射率为 1.33 的液体中, 则 j 级和 $j+1$ 级暗条纹所对应的光程差分别为

$$n(r_2 - r_1) = n \frac{d}{r_0} y = (2j+1) \frac{\lambda}{2} \quad (5)$$

$$n \frac{d}{r_0} y' = [2(j+1)+1] \frac{\lambda}{2} \quad (6)$$

式(6)-式(5), 得

$$nd \frac{y' - y}{r_0} = \lambda$$

即

$$nd(\tan \theta' - \tan \theta) = \lambda$$

或

$$nd\Delta\theta = \lambda$$

则条纹的角宽度为 $\Delta\theta = \frac{\lambda}{nd} = \frac{5.890 \times 10^{-7}}{1.33 \times 1.687} \text{ rad} = 0.015^\circ = 54''$

1-1-2 在杨氏干涉实验中, 以 $\lambda = 632.8 \text{ nm}$ 的氦氖激光束垂直照射间距为 1.14 mm 的两个小孔, 小孔至屏幕的垂直距离为 1.50 m. 试求下列两种情况下屏幕上干涉条纹的间距:

(1) 整个装置放在空气中; (2) 整个装置放在 $n=1.33$ 的水中.

$$\text{解: (1)} \Delta y = \frac{r}{d} \lambda = 0.833 \text{ mm};$$

$$(2) \Delta y' = \frac{r}{nd} \lambda = 0.626 \text{ mm}.$$

1-1-3 将具有间距为 0.5 mm 的竖直双狭缝的不透明屏置于分光计的平台上, 以波长为 $\lambda = 600 \text{ nm}$ 的单色平行光照射, 其中一个缝通过的能量为另一个的 4 倍, 置于焦距为 200 mm 的透镜焦平面上的光屏上形成干涉花样. 试求:

(1) 干涉条纹的间距;

(2) 干涉条纹的可见度.

$$\text{解: (1)} \text{利用下列公式} \quad \Delta y = \frac{r_0}{d} \lambda$$

将 $r_0 = 200 \text{ mm}$, $d = 0.5 \text{ mm}$ 和 $\lambda = 600 \times 10^{-6} \text{ mm}$ 代入上式, 得条纹间距为

$$\Delta y = \frac{200}{0.5} \times 600 \times 10^{-6} \text{ mm} = 0.24 \text{ mm}$$

(2) 由缝中能量分布可知

$$I_1 : I_2 = 4 : 1$$

则
故

$$A_1 : A_2 = 2 : 1$$

$$A_1 = 2A_2$$

$$A_{\min} = A_1 - A_2 = A_2$$

$$A_{\max} = A_1 + A_2 = 3A_2$$

$$I_{\min} = A_2^2$$

$$I_{\max} = 9A_2^2$$

则干涉条纹的可见度为

$$V = \frac{I_{\max} - I_{\min}}{I_{\max} + I_{\min}} = \frac{9-1}{9+1} = 0.8$$

1-1-4 平行单色光垂直投射到间距 $d=0.1\text{ mm}$ 的双缝上, 在屏上某点 P 观察到第 8 级亮条纹, 屏离开双缝的距离 $r_0=1\text{ m}$, P 点离开中央亮条纹的距离为 $y=4\text{ cm}$ (参见题 1-1-1 图). 若把双缝的间距缩小为 d' , 则 P 点为第 4 级亮条纹. 试求:

- (1) $d' : d$;
- (2) 单色光的波长.

解:(1) 由相长干涉的条件, 得

$$d \sin \theta = j \lambda$$

故

$$d' : d = j' : j = 4 : 8 = 1 : 2$$

- (2) 单色光的波长为

$$\lambda = \frac{ds \sin \theta}{j} = \frac{d}{j} \frac{y}{r_0} = \frac{0.1}{8} \cdot \frac{40}{1000} \text{ mm} = 500 \text{ nm}$$

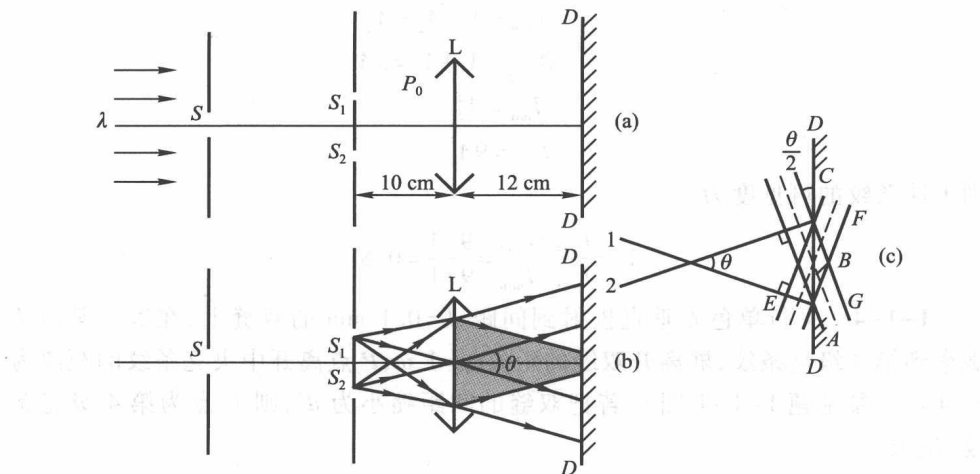
1-1-5 如题 1-1-5 图 (a) 所示, 在杨氏干涉装置中, 双缝的间距 $d=0.1\text{ mm}$, 离双缝右侧 10 cm 处有一共轴的焦距 $f'=10\text{ cm}$ 的理想会聚透镜 L, L 的右侧 12 cm 处置一垂直于轴的干版 DD. 若缝 S 以波长 $\lambda=400\text{ nm}$ 单色光垂直照明. 试求:

- (1) 干版上有无干涉条纹?
- (2) 若有直干涉条纹, 则条纹间距是多少?

解: (1) 由于 S_1 和 S_2 是由同一波面分出的两个次波源, 因此它们是相干的. 而相干光源 S_1 和 S_2 都处于透镜 L 的物方焦平面上, 经透镜 L 折射成夹角为 θ 的两束平行光, 如题 1-1-5 图 (b) 所示, 交叠而构成干涉场. 在干涉域中置一与光轴正交的干版 DD 即可得与纸面垂直的等间隔的明暗相间的直干涉条纹.

- (2) 干版上所形成的直条纹的间距公式推导如下.

如题 1-1-5 图 (c) 所示, 绘出的是经透镜 L 折射后所获得的两簇相干的平行光束 1 和 2 的波阵面图, 其中与光线正交的实线表示某一时刻振动处在波峰的等相面, 虚线却是波谷的等相面. 而干版 DD 恰好置于两平面波面夹角的平分



题 1-1-5 图

线上. 即 $\angle ACE = \theta/2$.

相干光束 1 和 2 的波长都是 λ , 故 $AE = \lambda$. 干版面上 A 和 C 点为两波峰相遇, B 点为两波谷相遇, 故 A、B 和 C 点为相长干涉, 显然, F、G 两点是相消干涉. 在波的传播过程中, 在 θ 维持不变的条件下, A、B 和 C 点总是同相位, F、G 却是反相位的. 所以, AC 的长度为条纹间距的两倍, 即

$$AC = 2\Delta y$$

在题 1-1-5 图(c)所示的 $\triangle ACE$ 中

$$AC \sin \frac{\theta}{2} = AE, \quad \sin \frac{\theta}{2} = \frac{\frac{120}{100} \times 0.05}{\sqrt{12^2 + \left(\frac{120}{100} \times 0.05\right)^2}}$$

即

$$2\Delta y \sin \frac{\theta}{2} = \lambda$$

将 $\lambda = 400 \times 10^{-6}$ mm, $\sin \frac{\theta}{2} \approx \frac{0.06}{12}$ 代入上式, 得条纹间距为

$$\Delta y = \frac{\lambda}{2 \sin \frac{\theta}{2}} = 0.04 \text{ mm}$$

1-1-6 如题 1-1-6 图(a)所示, 一平行光束投射在狭缝 S_1 和 S_2 上, 两条缝与互相正交的两屏的交线的距离均为 a , 光束的投射方向与两屏的夹角均为 45° . 若在距缝 S_1 的屏为 b 之处, 有一与这屏平行的接收屏, 且 $b \gg a$.

若将 S_1 与 S_2 视为线光源, 且认为光源为单色光.

(1) 试求相长和相消的条件;